

Рис. 1: Время работы алгоритмов построения ПП на последовательностях ДНК

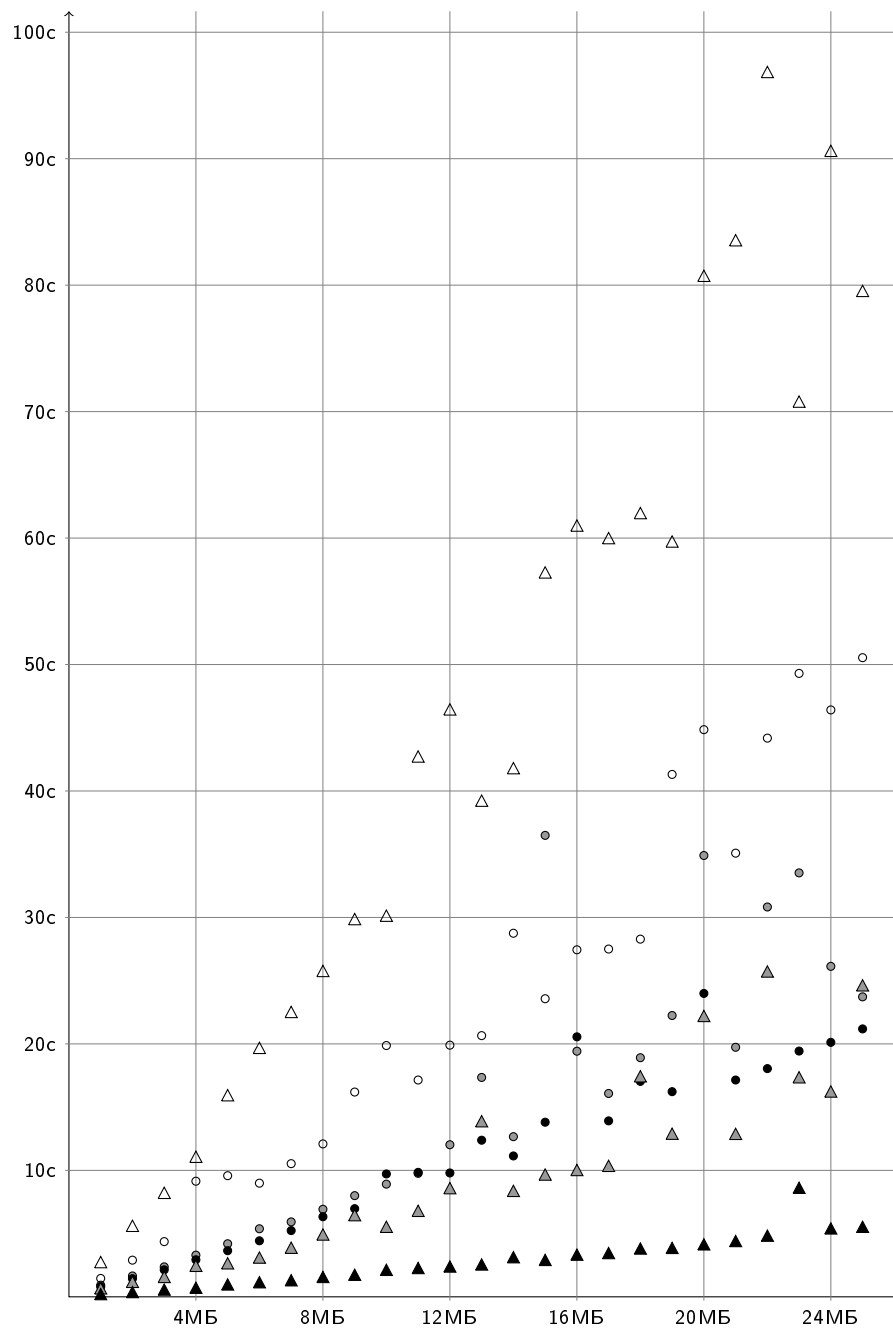


Рис. 2: Время работы алгоритмов построения ПП на случайных строках

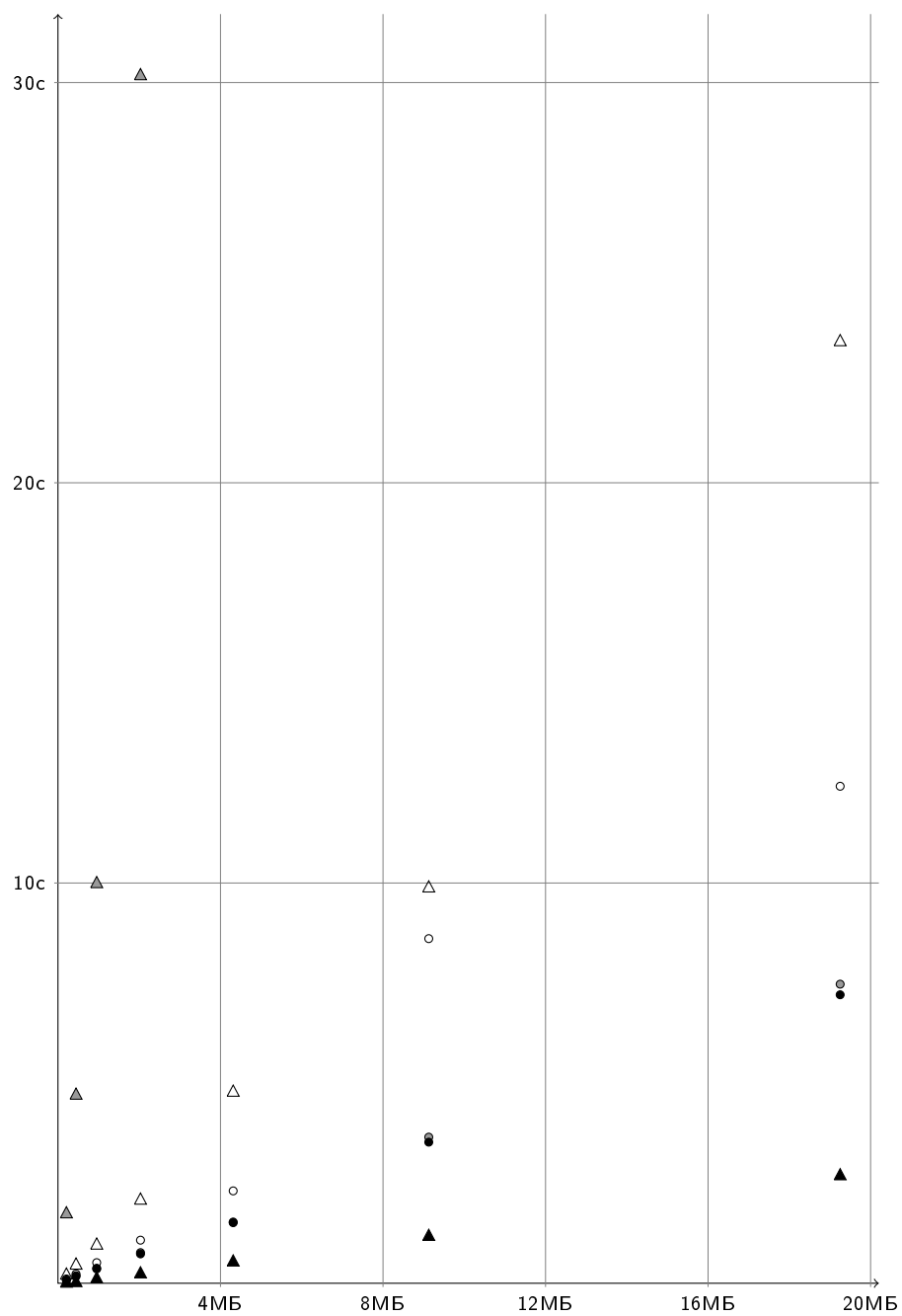


Рис. 3: Время работы алгоритмов построения ПП на «плохих» строках

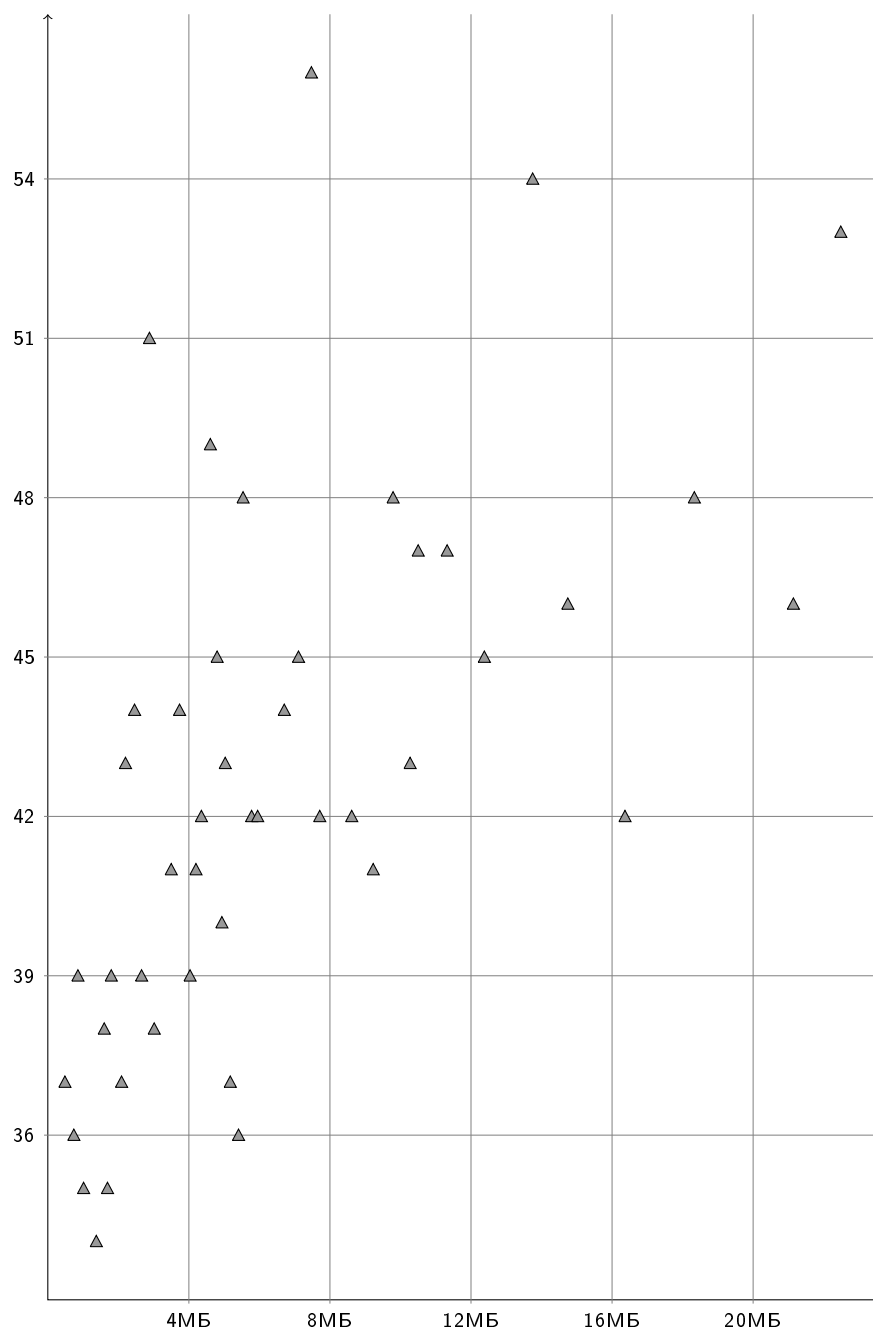


Рис. 4: Количество итераций многопоточного алгоритма построения ПП на последовательностях ДНК

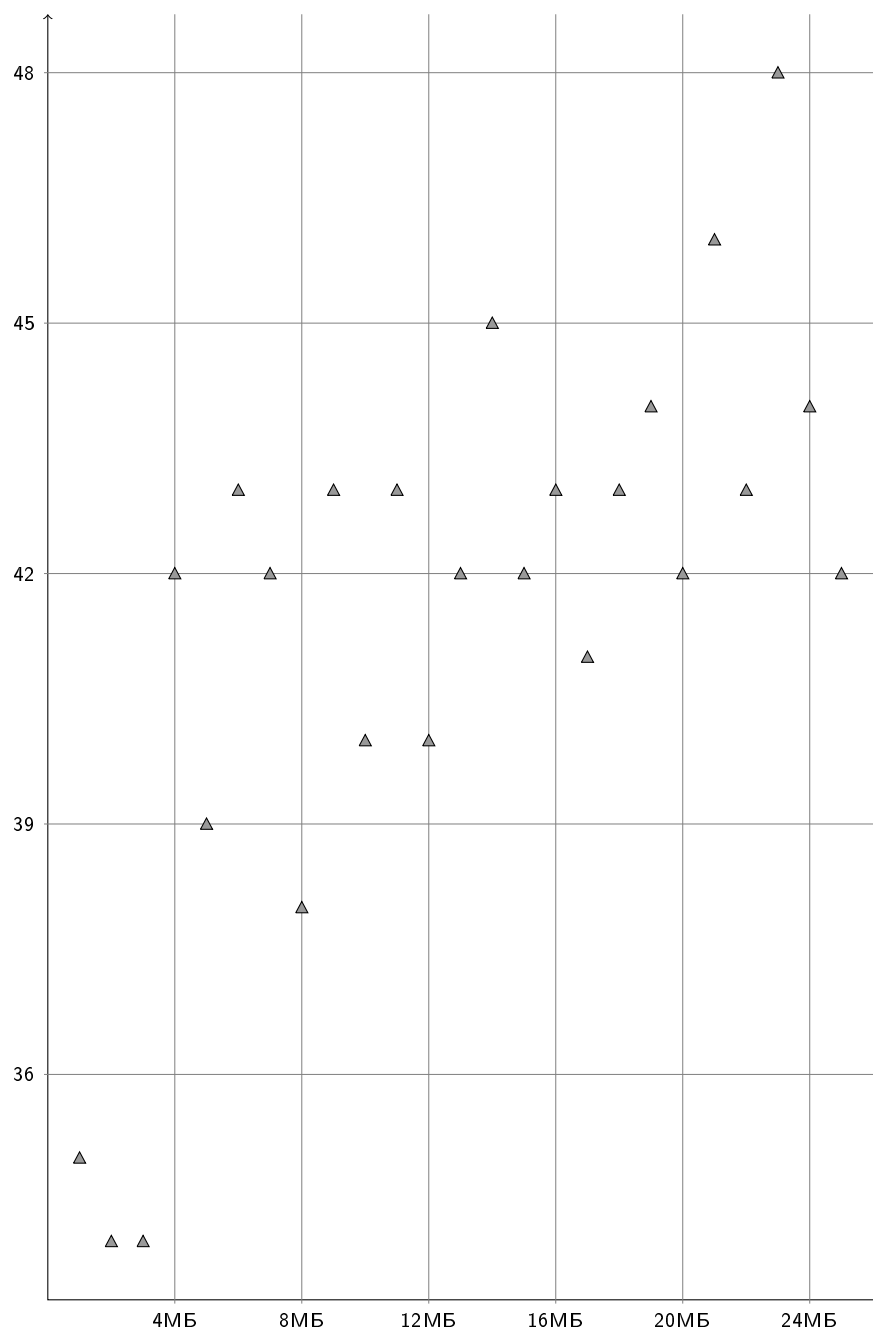


Рис. 5: Количество итераций многопоточного алгоритма построения ПП на случайных строках

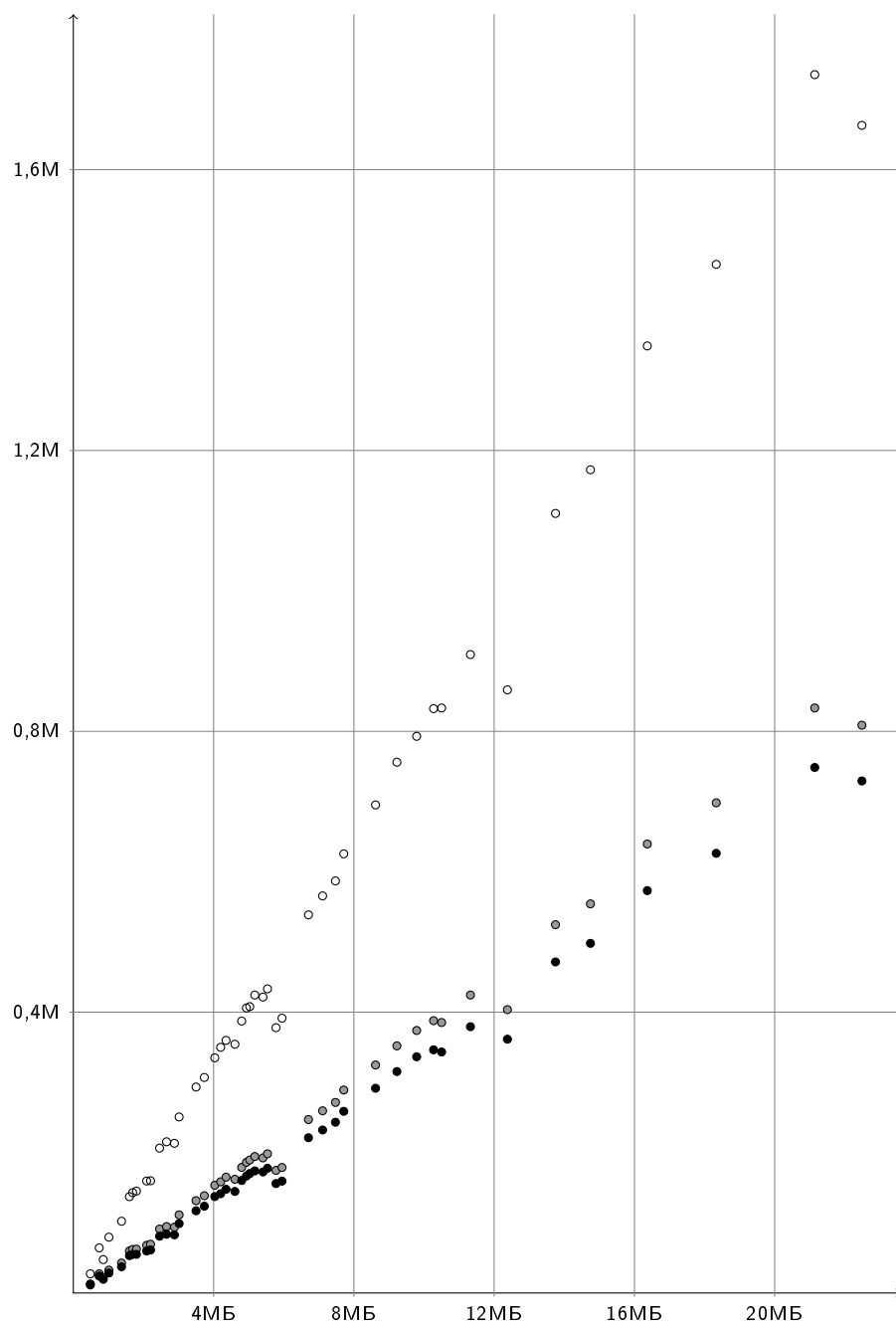


Рис. 6: Количество поворотов AVL-дерева на последовательностях ДНК

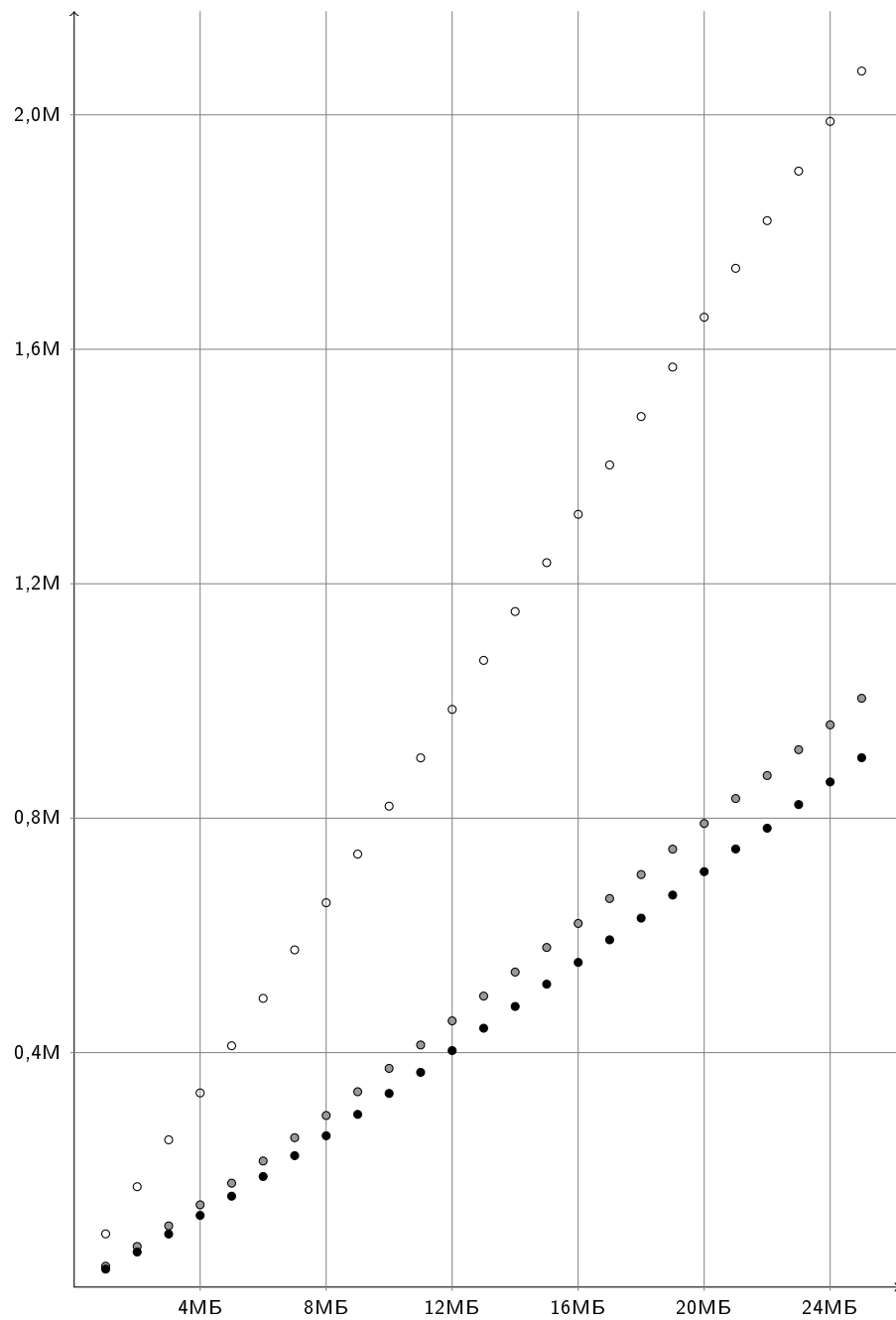


Рис. 7: Количество поворотов AVL-дерева на случайных строках

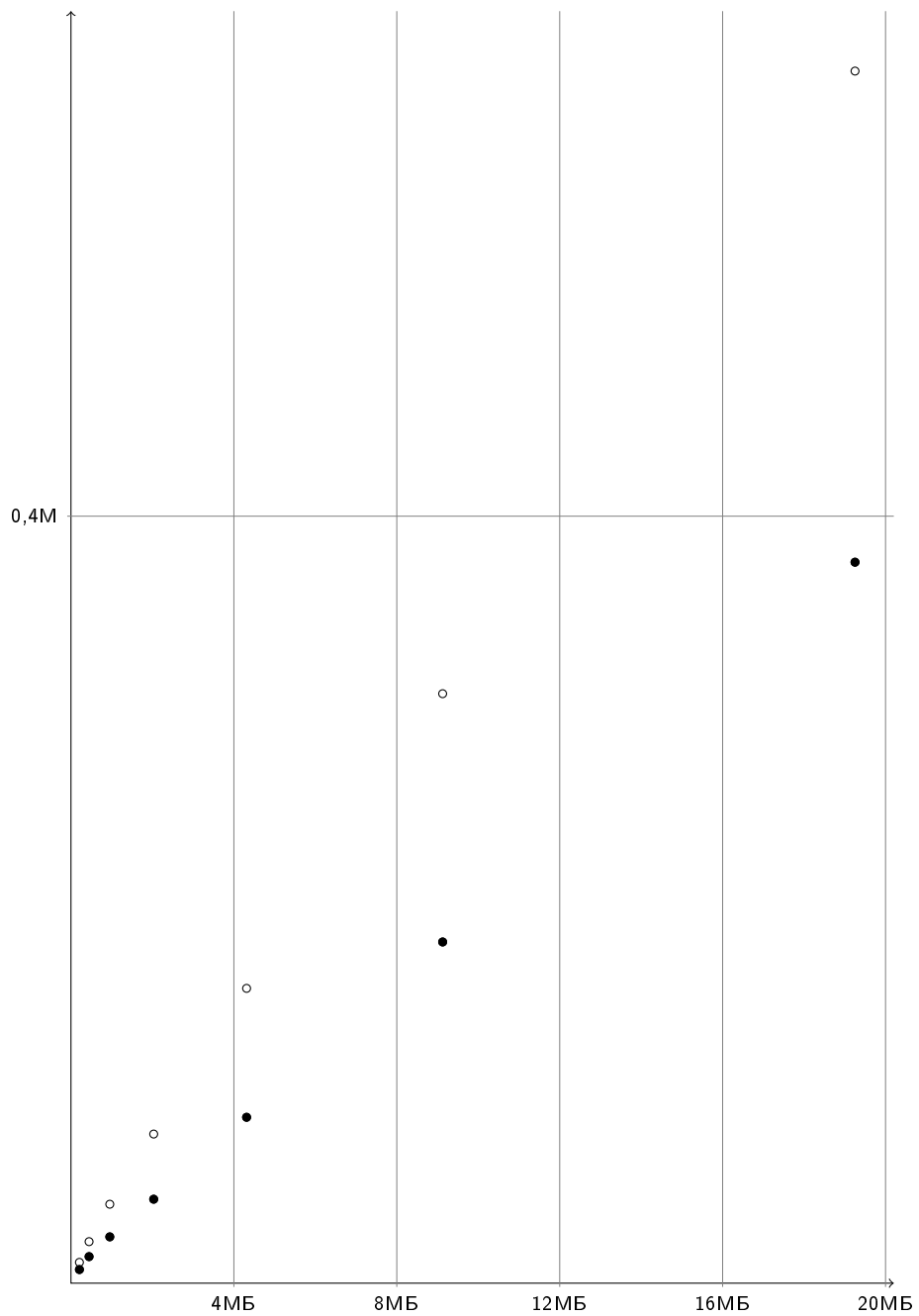


Рис. 8: Количество поворотов AVL-дерева на «плохих» текстах



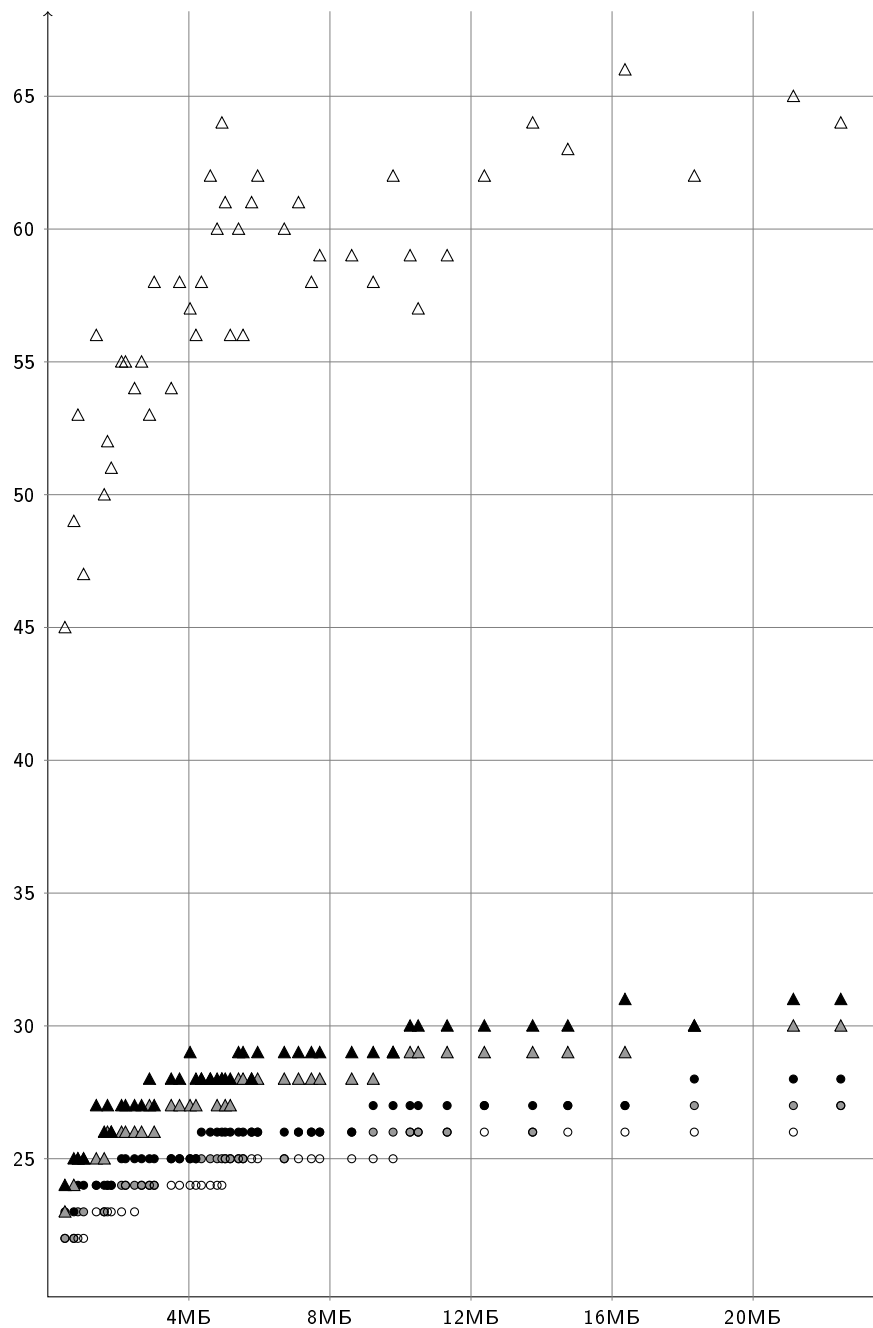


Рис. 9: Высота построенной ПП на последовательностях ДНК

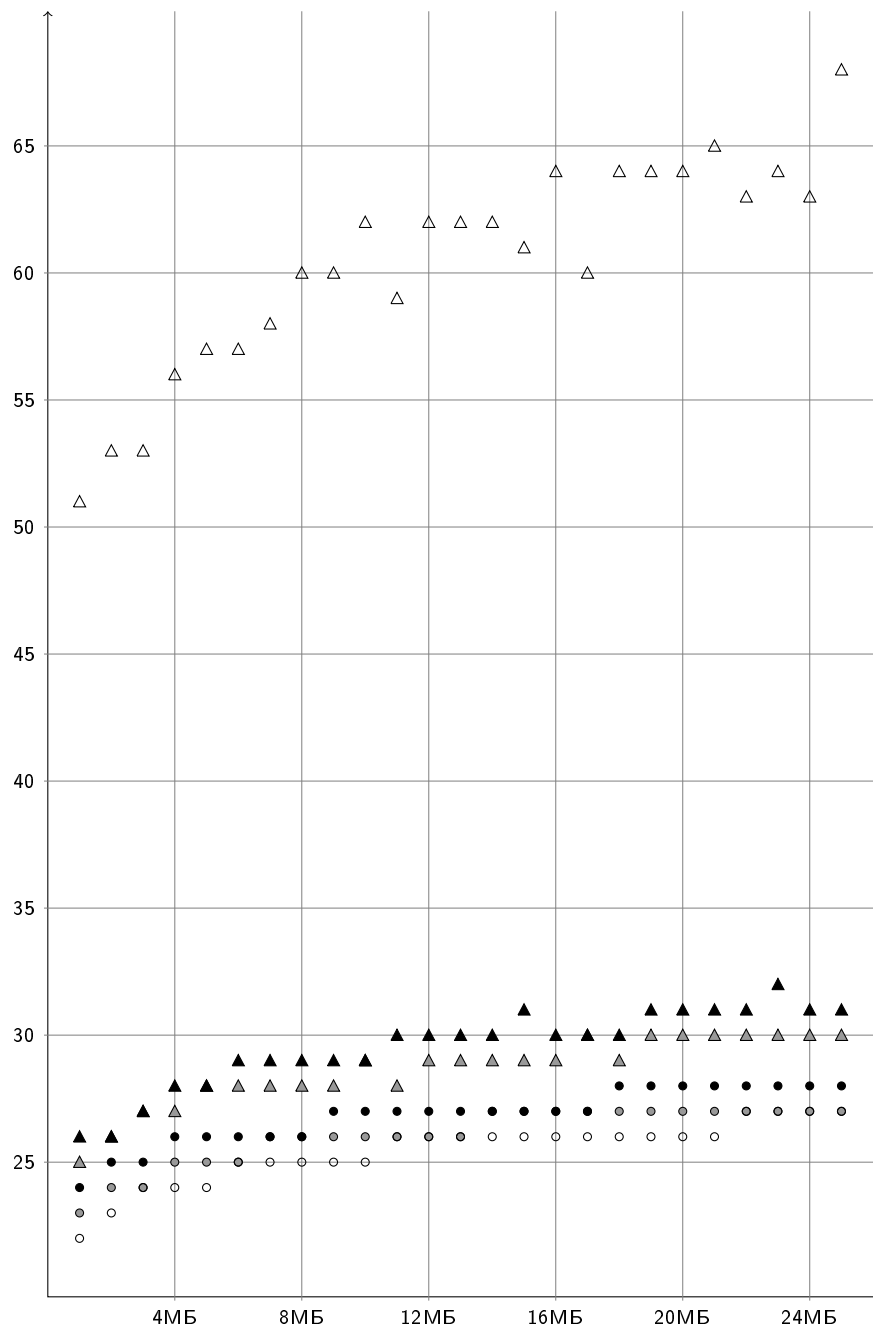


Рис. 10: Высота построенной ПП на случайных строках

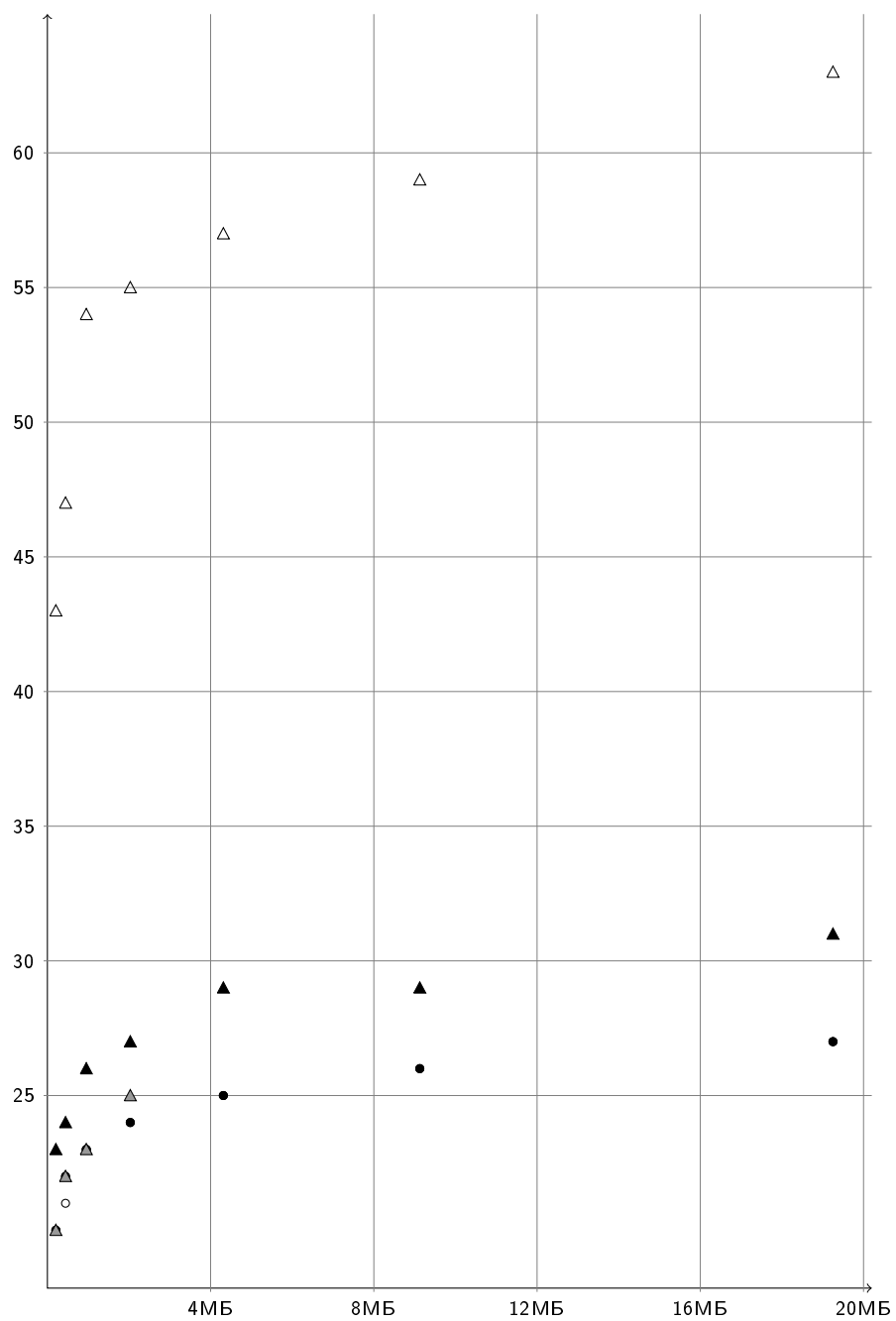


Рис. 11: Высота построенной ПП на «плохих» текстах

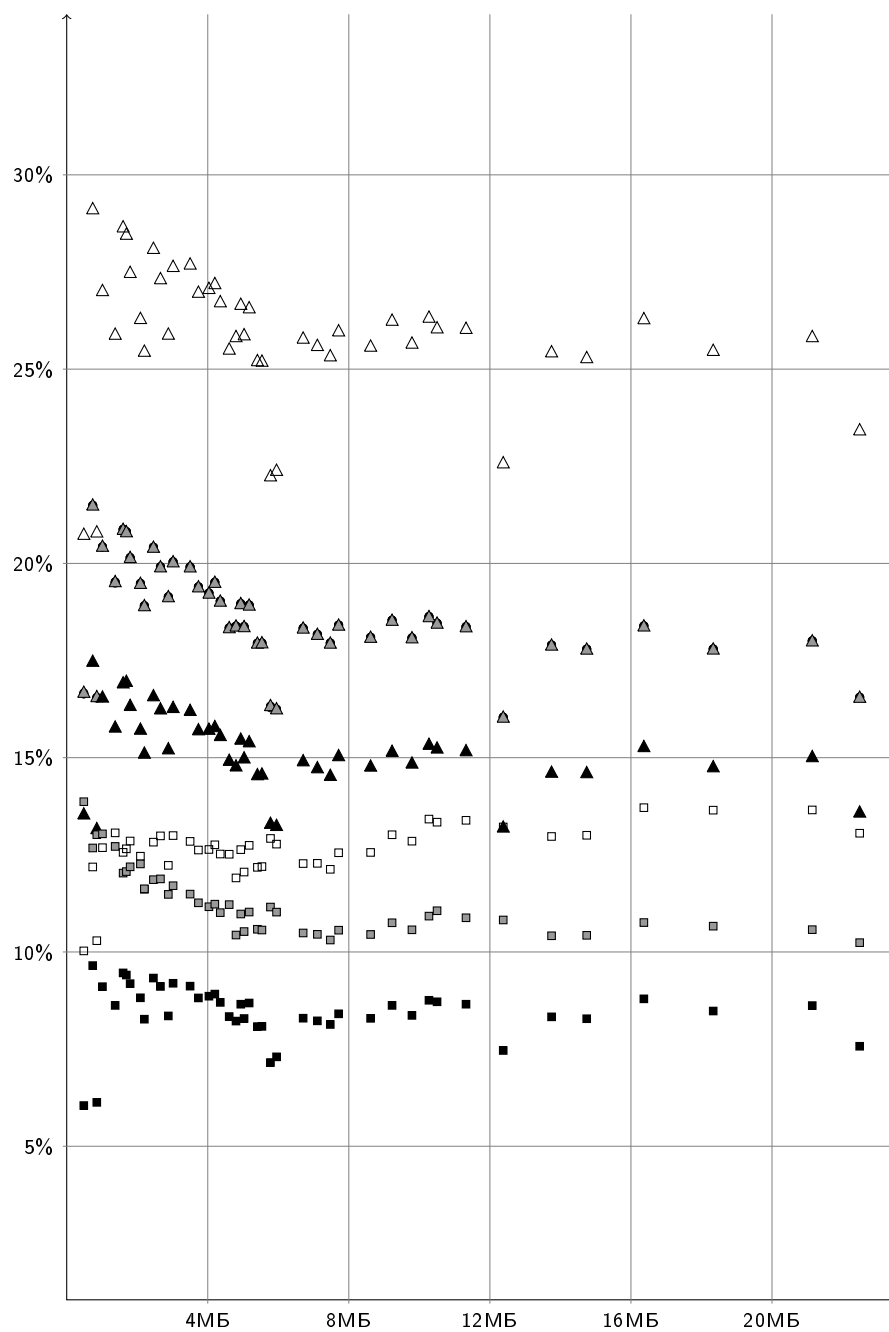


Рис. 12: Отношение размера сжатого представления к длине текста на последовательностях ДНК

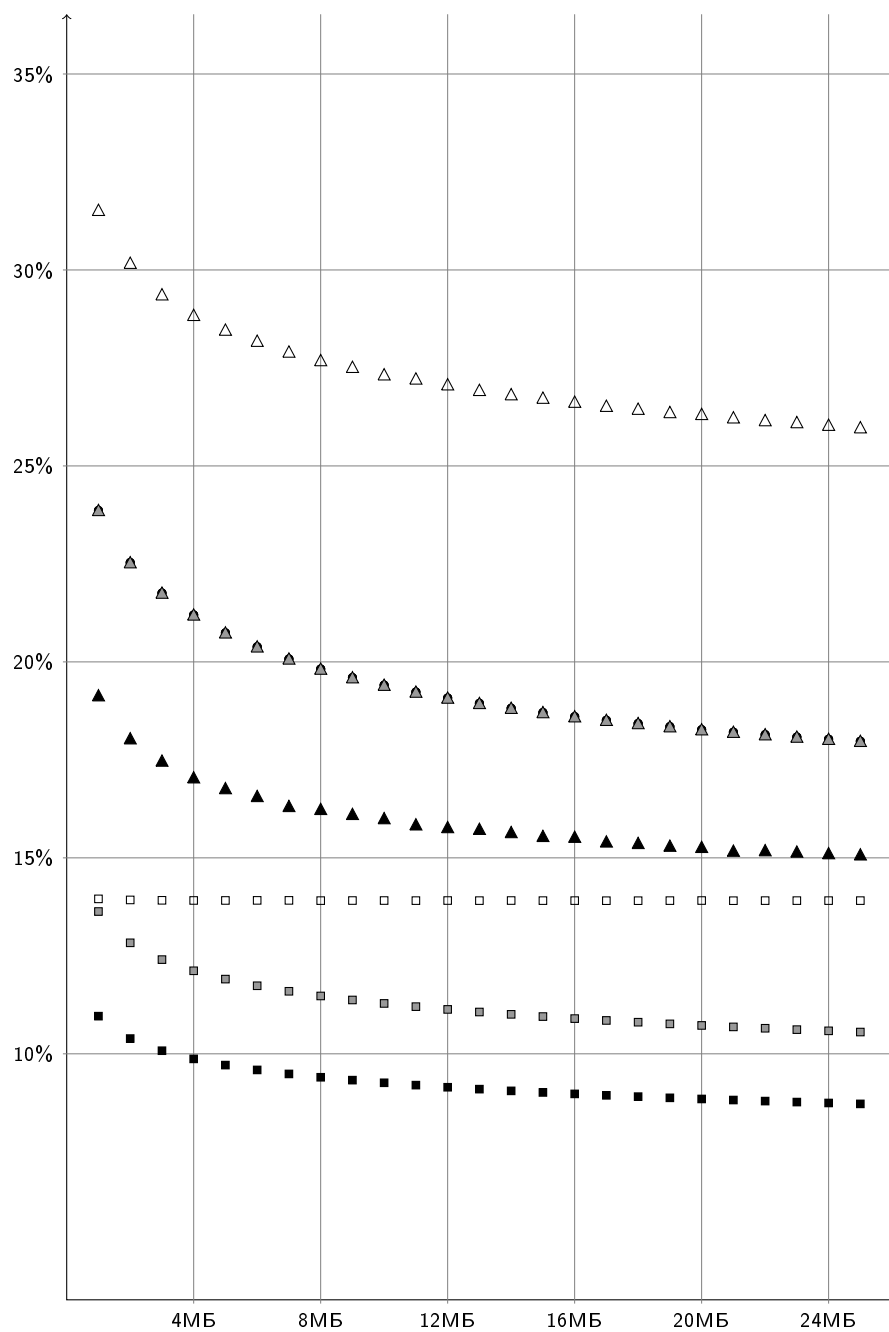


Рис. 13: Отношение размера сжатого представления к длине текста на случайных строках

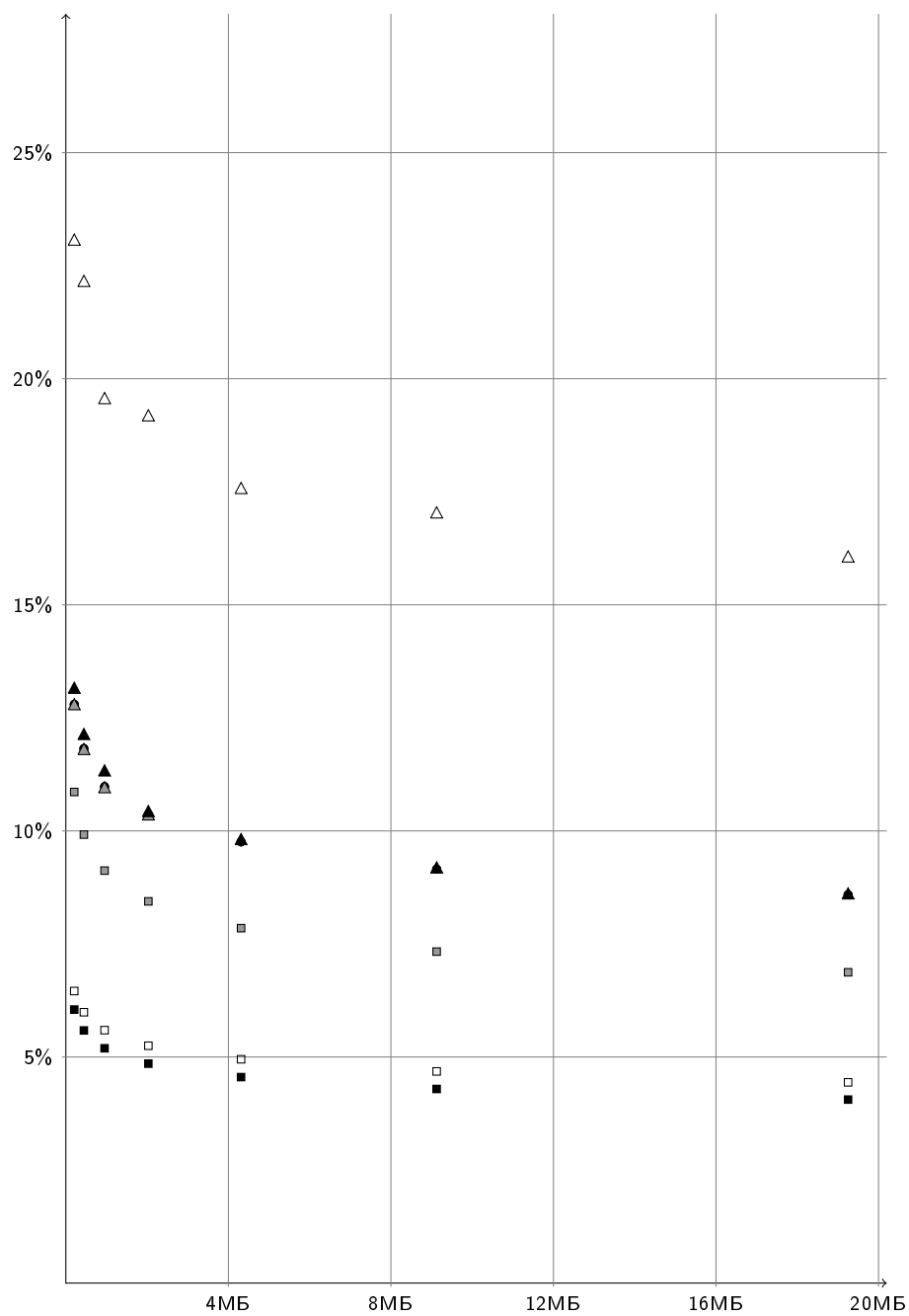


Рис. 14: Отношение размера сжатого представления к длине текста на «плохих» текстах

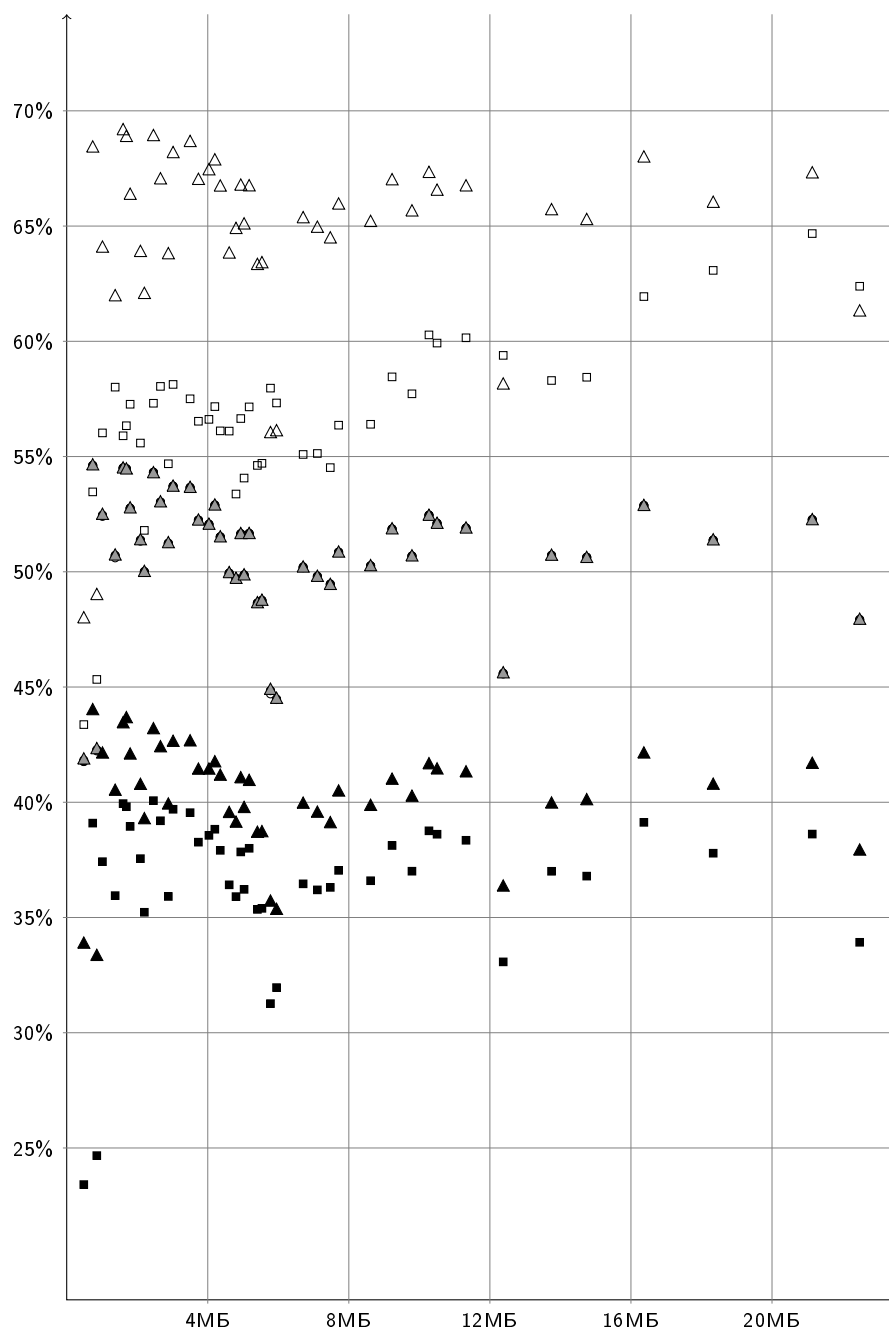


Рис. 15: Коэффициент сжатия на последовательностях ДНК

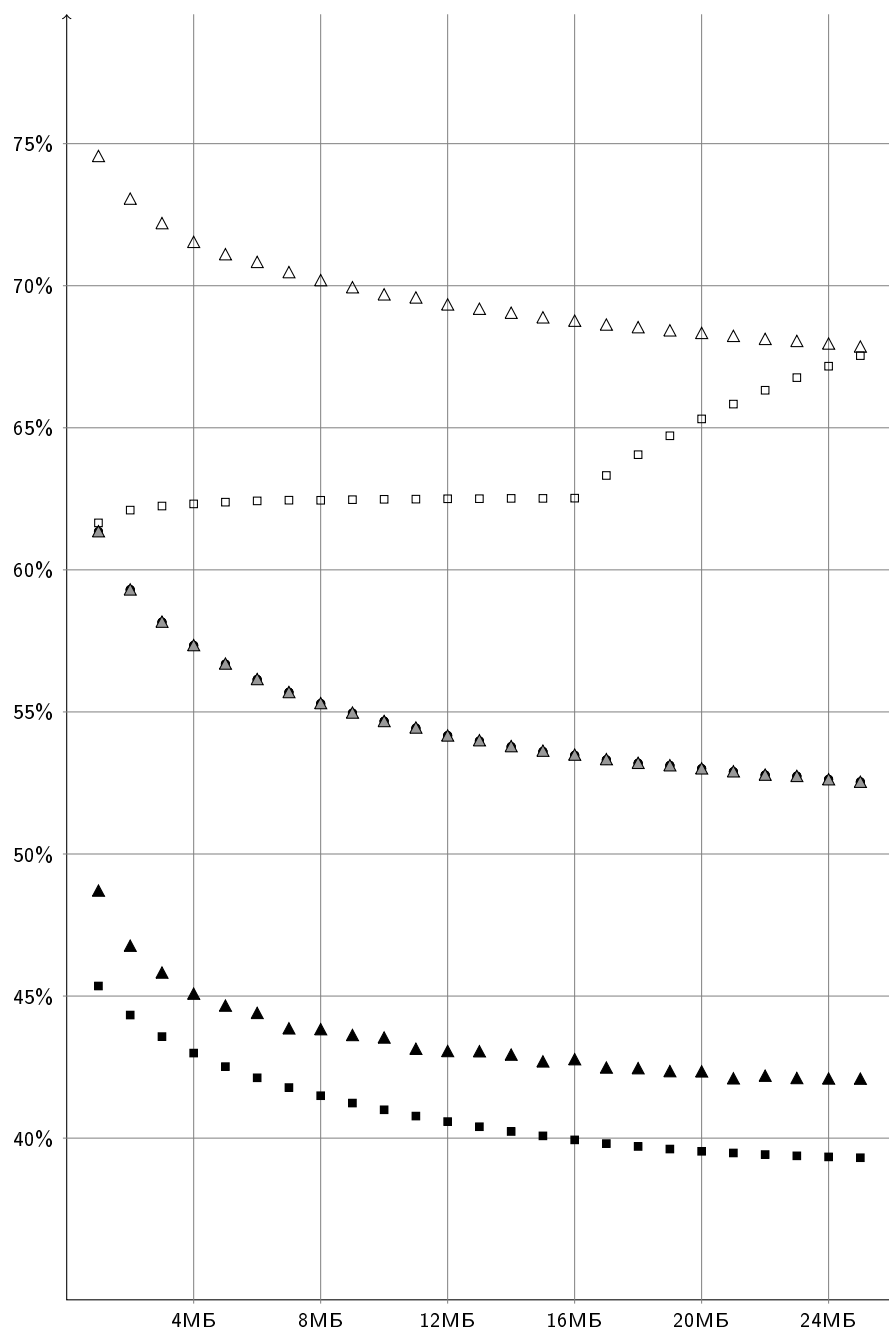


Рис. 16: Коэффициент сжатия на случайных строках



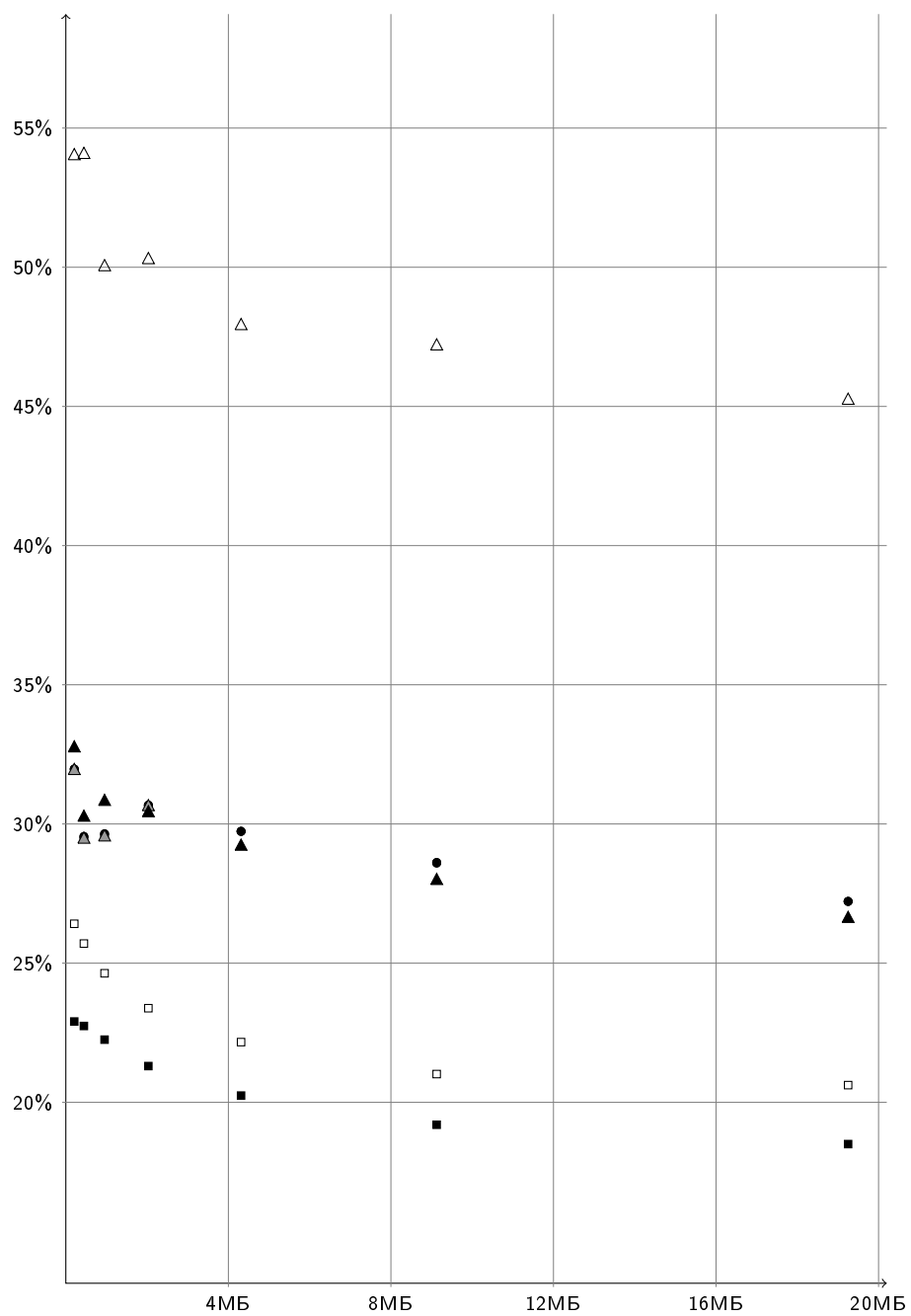


Рис. 17: Коэффициент сжатия на «плохих» текстах